

Eingabe: Farbmetrisches Reflexions-System MRS18a

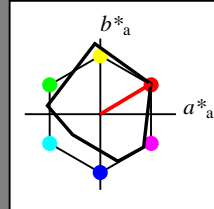
für Buntton $h^* = lab^*h = 31/360 = 0.086$

LAB*LCH, LAB*NCH

D65: Buntton R

LCH*Ma: 50 78 31

olv*Ma: 1.0 0.0 0.0



MRS18a; adaptierte CIELAB-Daten

	$L^*=L^*_a$	a^*_a	b^*_a	$C^*_{ab,a}$	$h^*_{ab,a}$
R _{Ma}	49.63	66.8	40.02	77.87	31
J _{Ma}	90.7	-7.27	93.19	93.48	94
G _{Ma}	52.11	-69.93	11.26	70.85	171
G50B _{Ma}	45.03	-36.65	-27.13	45.61	217
B _{Ma}	36.65	23.26	-62.27	66.49	290
B50R _{Ma}	34.94	57.27	-43.6	71.99	323
N _{Ma}	18.01	0.0	0.0	0.0	0
W _{Ma}	95.41	0.0	0.0	0.0	0
R _{CIE}	39.92	58.67	27.97	64.99	25
J _{CIE}	81.26	-2.91	71.56	71.62	92
G _{CIE}	52.23	-42.47	13.58	44.6	162
B _{CIE}	30.57	1.33	-46.48	46.51	272

CIELAB-Helligkeit L^*

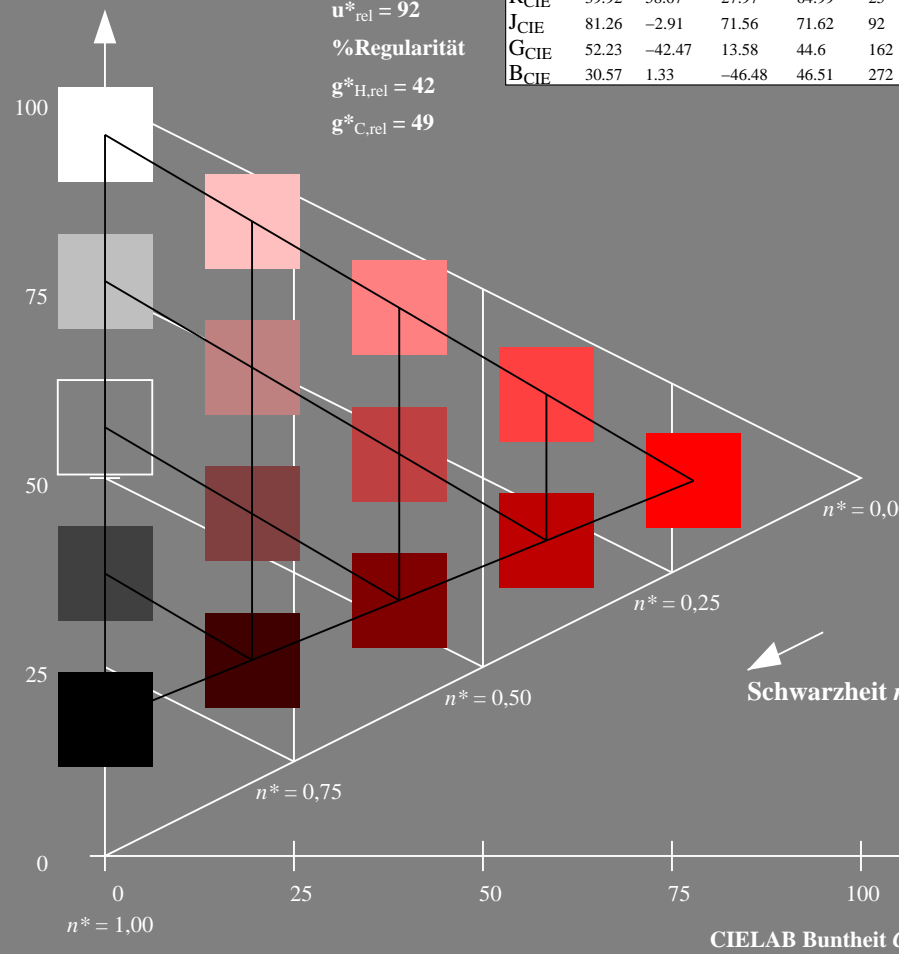
%Umfang

$u^*_{rel} = 92$

%Regularität

$g^*_{H,rel} = 42$

$g^*_{C,rel} = 49$



TG360-7, 5 stufige Reihen für konstanten CIELAB Buntton $31/360 = 0.086$ (links)

Ausgabe: Farbmetrisches Reflexions-System ORS18

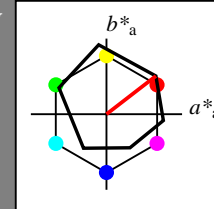
für Buntton $h^* = lab^*h = 38/360 = 0.105$

LAB*LCH, LAB*NCH

D65: Buntton O

LCH*Ma: 48 83 38

olv*Ma: 1.0 0.0 0.0



ORS18; adaptierte CIELAB-Daten

	$L^*=L^*_a$	a^*_a	b^*_a	$C^*_{ab,a}$	$h^*_{ab,a}$
O _{Ma}	47.94	65.37	50.52	82.62	38
Y _{Ma}	90.37	-10.27	91.77	92.34	96
L _{Ma}	50.9	-62.79	34.95	71.87	151
C _{Ma}	58.62	-30.35	-45.01	54.3	236
V _{Ma}	25.71	31.11	-44.42	54.24	305
M _{Ma}	48.13	75.27	-8.35	75.73	354
N _{Ma}	18.01	0.0	0.0	0.0	0
W _{Ma}	95.41	0.0	0.0	0.0	0
R _{CIE}	39.92	58.66	26.98	64.56	25
J _{CIE}	81.26	-2.17	67.76	67.79	92
G _{CIE}	52.23	-42.26	11.75	43.87	164
B _{CIE}	30.57	1.15	-46.84	46.87	271

CIELAB-Helligkeit L^*

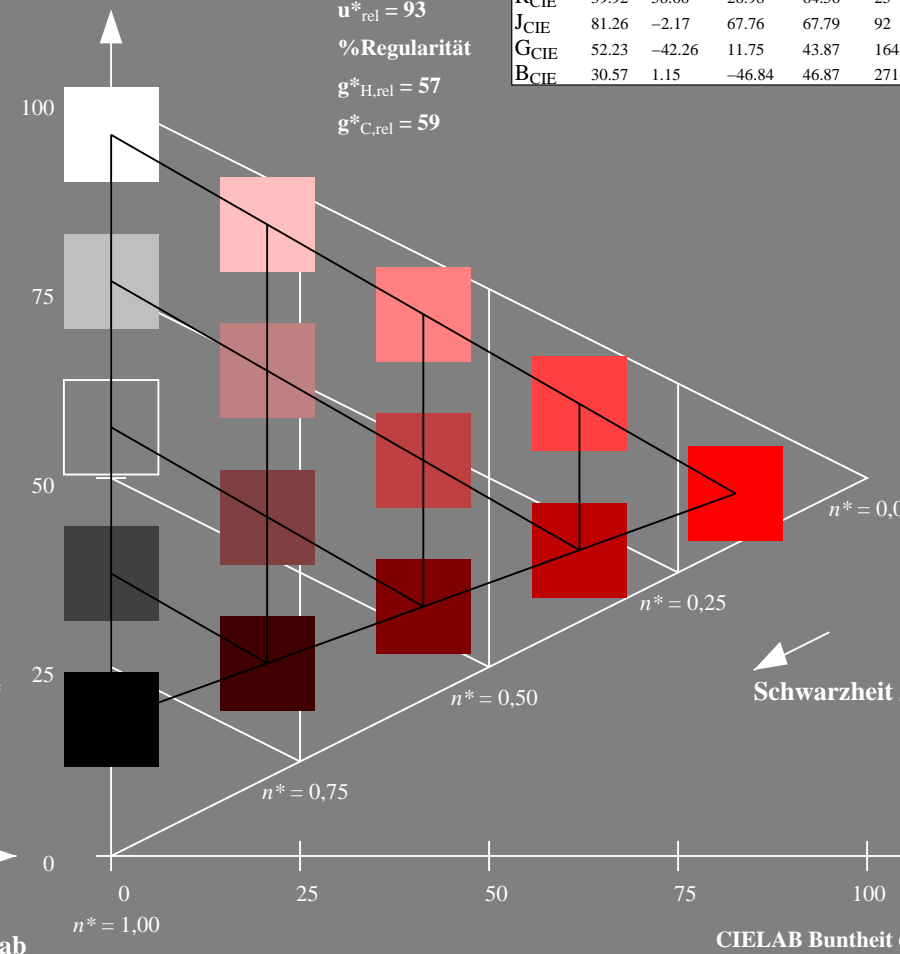
%Umfang

$u^*_{rel} = 93$

%Regularität

$g^*_{H,rel} = 57$

$g^*_{C,rel} = 59$



5 stufige Reihen für konstanten CIELAB Buntton $38/360 = 0.105$ (rechts)

Eingabe: Farbmetrisches Reflexions-System MRS18a

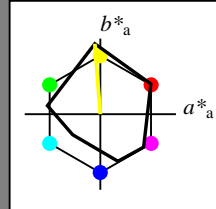
für Buntton $h^* = lab^*h = 94/360 = 0.262$

LAB*LCH, LAB*NCH

D65: Buntton J

LCH*Ma: 91 93 94

olv*Ma: 1.0 1.0 0.0



MRS18a; adaptierte CIELAB-Daten

	$L^*=L^*_a$	a^*_a	b^*_a	$C^*_{ab,a}$	$h^*_{ab,a}$
R _{Ma}	49.63	66.8	40.02	77.87	31
J _{Ma}	90.7	-7.27	93.19	93.48	94
G _{Ma}	52.11	-69.93	11.26	70.85	171
G50B _{Ma}	45.03	-36.65	-27.13	45.61	217
B _{Ma}	36.65	23.26	-62.27	66.49	290
B50R _{Ma}	34.94	57.27	-43.6	71.99	323
N _{Ma}	18.01	0.0	0.0	0.0	0
W _{Ma}	95.41	0.0	0.0	0.0	0
R _{CIE}	39.92	58.67	27.97	64.99	25
J _{CIE}	81.26	-2.91	71.56	71.62	92
G _{CIE}	52.23	-42.47	13.58	44.6	162
B _{CIE}	30.57	1.33	-46.48	46.51	272

CIELAB-Helligkeit L^*

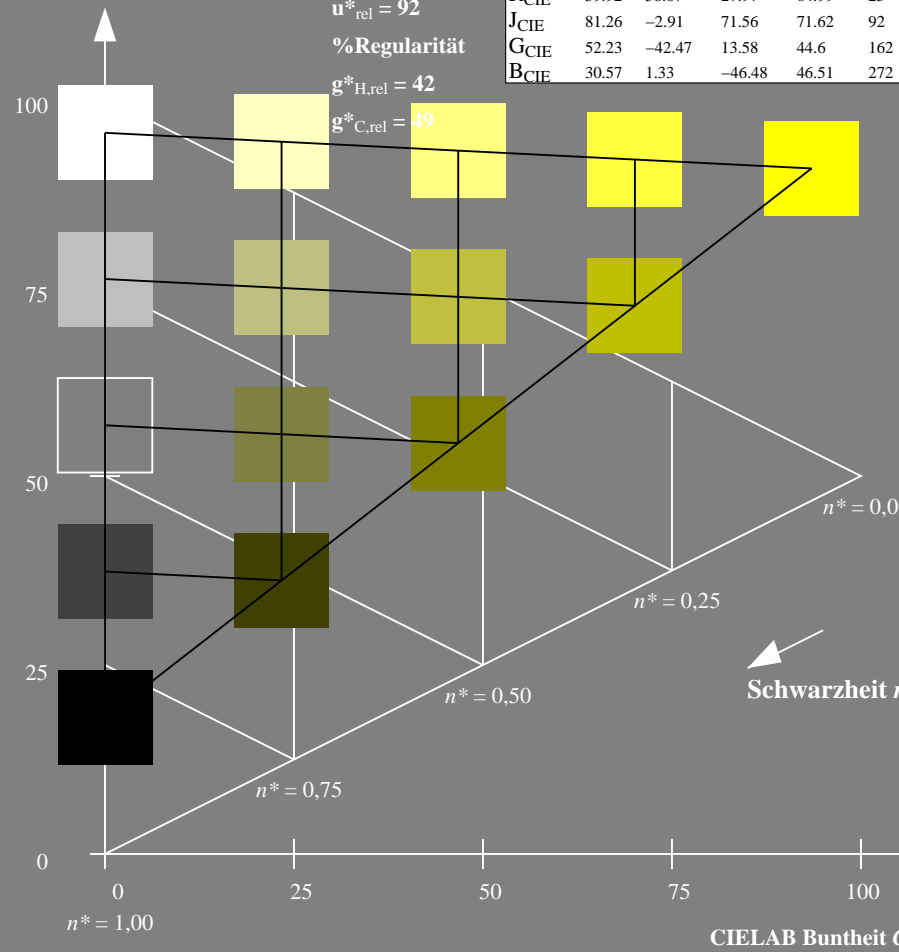
%Umfang

$u^*_{rel} = 92$

%Regularität

$g^*_{H,rel} = 42$

$g^*_{C,rel} = 49$



Ausgabe: Farbmetrisches Reflexions-System ORS18

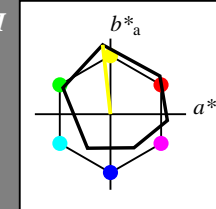
für Buntton $h^* = lab^*h = 96/360 = 0.268$

LAB*LCH, LAB*NCH

D65: Buntton Y

LCH*Ma: 90 92 96

olv*Ma: 1.0 1.0 0.0



ORS18; adaptierte CIELAB-Daten

	$L^*=L^*_a$	a^*_a	b^*_a	$C^*_{ab,a}$	$h^*_{ab,a}$
O _{Ma}	47.94	65.37	50.52	82.62	38
Y _{Ma}	90.37	-10.27	91.77	92.34	96
L _{Ma}	50.9	-62.79	34.95	71.87	151
C _{Ma}	58.62	-30.35	-45.01	54.3	236
V _{Ma}	25.71	31.11	-44.42	54.24	305
M _{Ma}	48.13	75.27	-8.35	75.73	354
N _{Ma}	18.01	0.0	0.0	0.0	0
W _{Ma}	95.41	0.0	0.0	0.0	0
R _{CIE}	39.92	58.66	26.98	64.56	25
J _{CIE}	81.26	-2.17	67.76	67.79	92
G _{CIE}	52.23	-42.26	11.75	43.87	164
B _{CIE}	30.57	1.15	-46.84	46.87	271

CIELAB-Helligkeit L^*

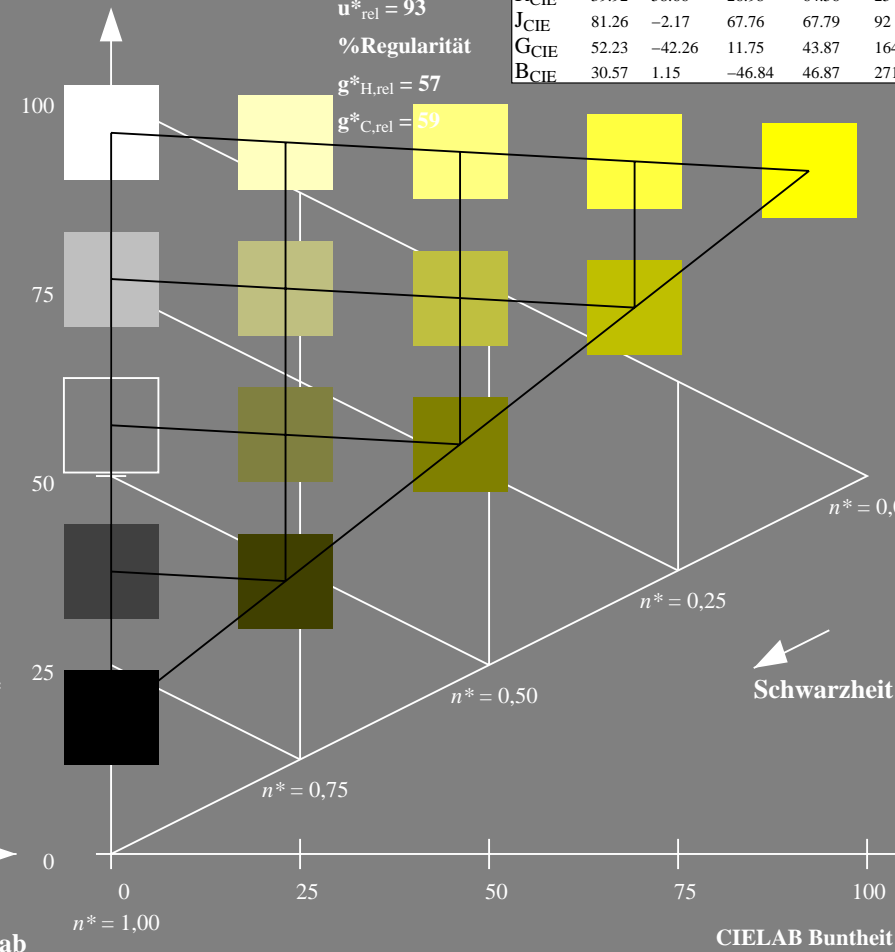
%Umfang

$u^*_{rel} = 93$

%Regularität

$g^*_{H,rel} = 57$

$g^*_{C,rel} = 59$



TG360-7, 5 stufige Reihen für konstanten CIELAB Buntton 94/360 = 0.262 (links)

5 stufige Reihen für konstanten CIELAB Buntton 96/360 = 0.268 (rechts)

Eingabe: Farbmetrisches Reflexions-System MRS18a

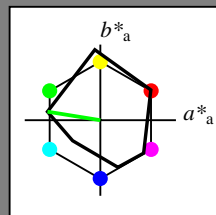
für Buntton $h^* = lab^*h = 171/360 = 0.475$

LAB*LCH, LAB*NCH

D65: Buntton G

LCH*Ma: 52 71 171

olv*Ma: 0.0 1.0 0.0



MRS18a; adaptierte CIELAB-Daten

	$L^*=L^*_a$	a^*_a	b^*_a	$C^*_{ab,a}$	$h^*_{ab,a}$
R _{Ma}	49.63	66.8	40.02	77.87	31
J _{Ma}	90.7	-7.27	93.19	93.48	94
G _{Ma}	52.11	-69.93	11.26	70.85	171
G50B _{Ma}	45.03	-36.65	-27.13	45.61	217
B _{Ma}	36.65	23.26	-62.27	66.49	290
B50R _{Ma}	34.94	57.27	-43.6	71.99	323
N _{Ma}	18.01	0.0	0.0	0.0	0
W _{Ma}	95.41	0.0	0.0	0.0	0
R _{CIE}	39.92	58.67	27.97	64.99	25
J _{CIE}	81.26	-2.91	71.56	71.62	92
G _{CIE}	52.23	-42.47	13.58	44.6	162
B _{CIE}	30.57	1.33	-46.48	46.51	272

CIELAB-Helligkeit L^*

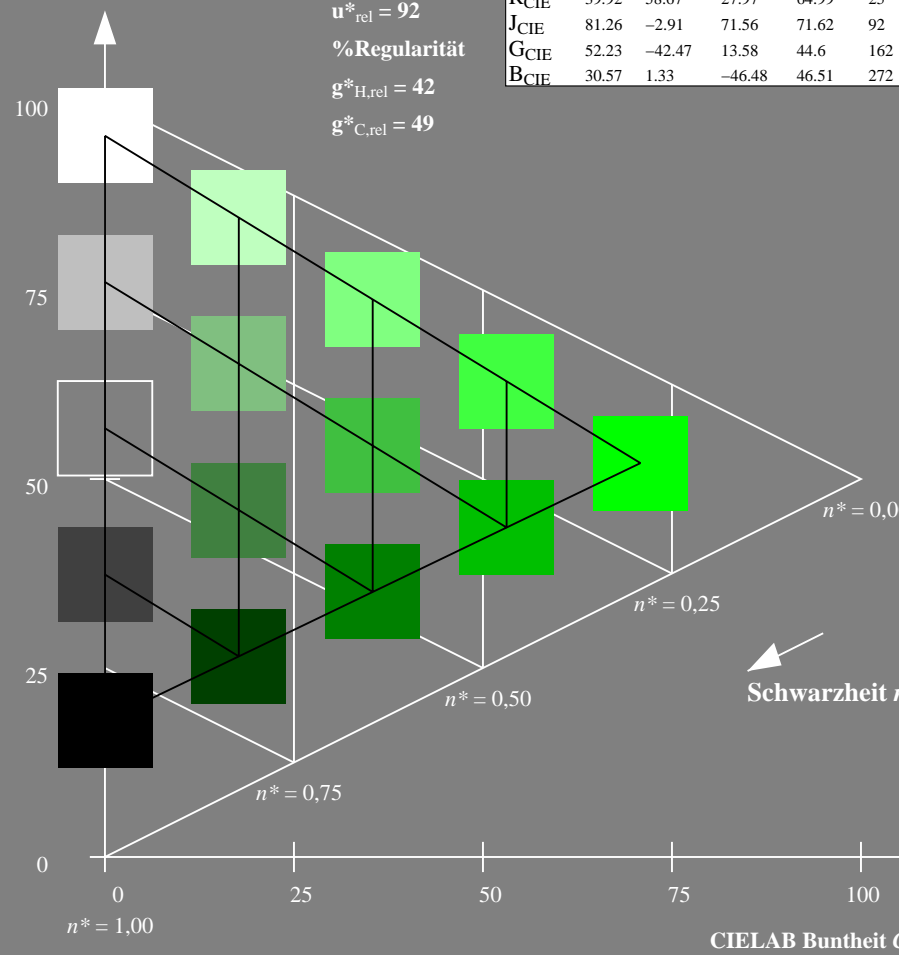
%Umfang

$u^*_{rel} = 92$

%Regularität

$g^*_{H,rel} = 42$

$g^*_{C,rel} = 49$



Ausgabe: Farbmetrisches Reflexions-System ORS18

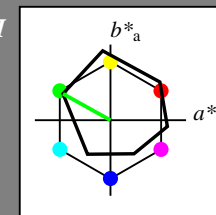
für Buntton $h^* = lab^*h = 151/360 = 0.419$

LAB*LCH, LAB*NCH

D65: Buntton L

LCH*Ma: 51 72 151

olv*Ma: 0.0 1.0 0.0



ORS18; adaptierte CIELAB-Daten

	$L^*=L^*_a$	a^*_a	b^*_a	$C^*_{ab,a}$	$h^*_{ab,a}$
O _{Ma}	47.94	65.37	50.52	82.62	38
Y _{Ma}	90.37	-10.27	91.77	92.34	96
L _{Ma}	50.9	-62.79	34.95	71.87	151
C _{Ma}	58.62	-30.35	-45.01	54.3	236
V _{Ma}	25.71	31.11	-44.42	54.24	305
M _{Ma}	48.13	75.27	-8.35	75.73	354
N _{Ma}	18.01	0.0	0.0	0.0	0
W _{Ma}	95.41	0.0	0.0	0.0	0
R _{CIE}	39.92	58.66	26.98	64.56	25
J _{CIE}	81.26	-2.17	67.76	67.79	92
G _{CIE}	52.23	-42.26	11.75	43.87	164
B _{CIE}	30.57	1.15	-46.84	46.87	271

CIELAB-Helligkeit L^*

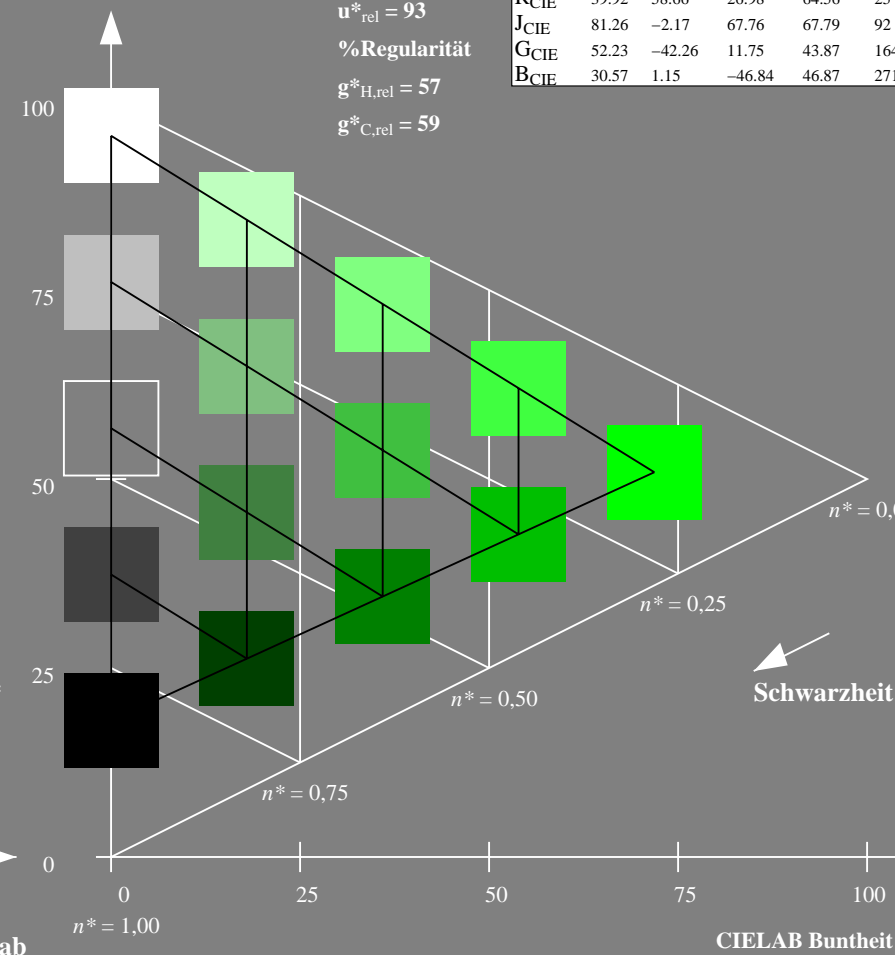
%Umfang

$u^*_{rel} = 93$

%Regularität

$g^*_{H,rel} = 57$

$g^*_{C,rel} = 59$



TG360-7, 5 stufige Reihen für konstanten CIELAB Buntton 171/360 = 0.475 (links)

5 stufige Reihen für konstanten CIELAB Buntton 151/360 = 0.419 (rechts)

BAM-Prüfvorlage TG36; Farbmetrik-Systeme MRS18a & ORS18

D65: Koordinaten-Systeme von 5stufigen Farbreihen für 10 Buntton
 Input: olv* setrgbcolor
 Output: no change compared to input

Siehe ähnliche Dateien: <http://www.ps.bam.de/TG36/>
 Technische Information: <http://www.ps.bam.de> Version 2.1, io=1,1

BAM-Registrierung: 20060101-TG36/10S/S36G02NP.PS/.PDF BAM-Material: Code=rhatha
 Anwendung für Beurteilung und Messung von Drucker- oder Monitorssystemen
 /TG36 Form: 3/10, Serie: 1/1, Seite: 3
 Scherzhang 3

Eingabe: Farbmetrisches Reflexions-System MRS18a

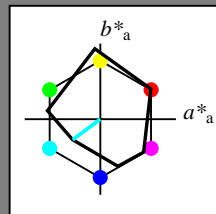
für Buntton $h^* = lab^*h = 217/360 = 0.601$

LAB*LCH, LAB*NCH

D65: Buntton G50B

LCH*Ma: 45 46 217

olv*Ma: 0.0 1.0 1.0



MRS18a; adaptierte CIELAB-Daten

	$L^*=L^*_a$	a^*_a	b^*_a	$C^*_{ab,a}$	$h^*_{ab,a}$
R _{Ma}	49.63	66.8	40.02	77.87	31
J _{Ma}	90.7	-7.27	93.19	93.48	94
G _{Ma}	52.11	-69.93	11.26	70.85	171
G50B _{Ma}	45.03	-36.65	-27.13	45.61	217
B _{Ma}	36.65	23.26	-62.27	66.49	290
B50R _{Ma}	34.94	57.27	-43.6	71.99	323
N _{Ma}	18.01	0.0	0.0	0.0	0
W _{Ma}	95.41	0.0	0.0	0.0	0
R _{CIE}	39.92	58.67	27.97	64.99	25
J _{CIE}	81.26	-2.91	71.56	71.62	92
G _{CIE}	52.23	-42.47	13.58	44.6	162
B _{CIE}	30.57	1.33	-46.48	46.51	272

CIELAB-Helligkeit L^*

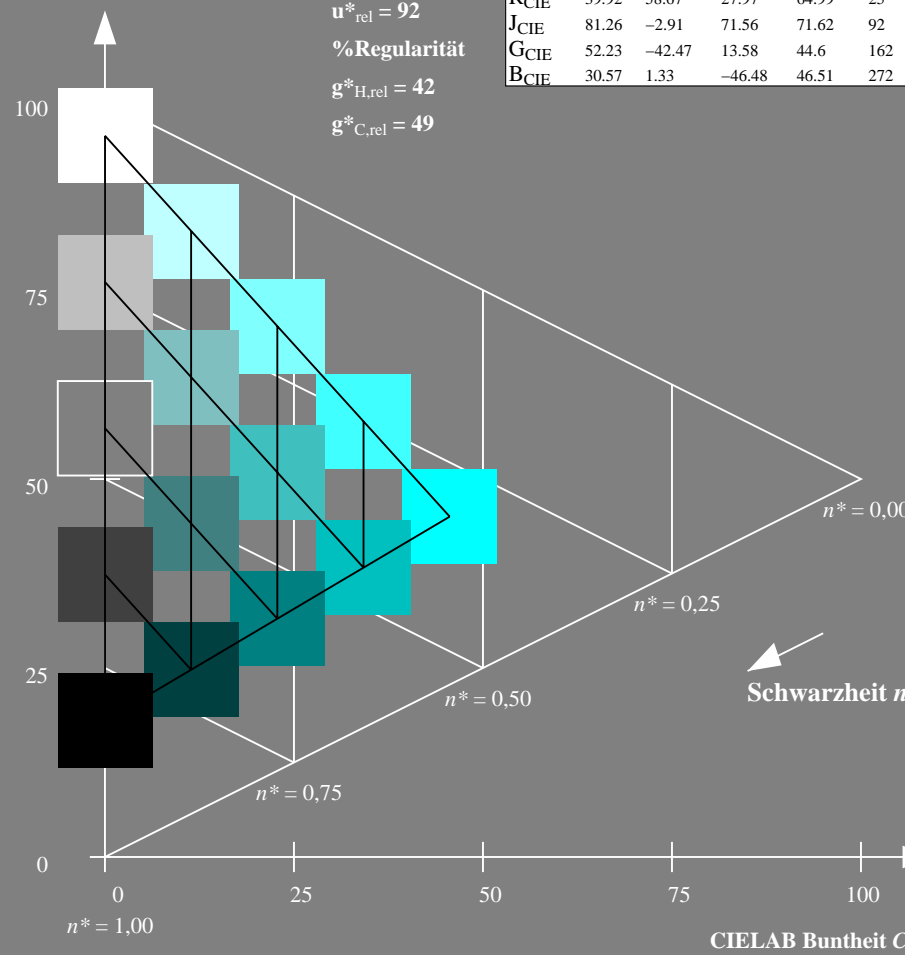
%Umfang

$u^*_{rel} = 92$

%Regularität

$g^*_{H,rel} = 42$

$g^*_{C,rel} = 49$



Ausgabe: Farbmetrisches Reflexions-System ORS18

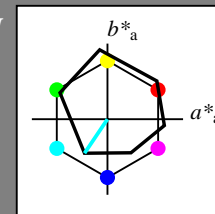
für Buntton $h^* = lab^*h = 236/360 = 0.656$

LAB*LCH, LAB*NCH

D65: Buntton C

LCH*Ma: 59 54 236

olv*Ma: 0.0 1.0 1.0



ORS18; adaptierte CIELAB-Daten

	$L^*=L^*_a$	a^*_a	b^*_a	$C^*_{ab,a}$	$h^*_{ab,a}$
O _{Ma}	47.94	65.37	50.52	82.62	38
Y _{Ma}	90.37	-10.27	91.77	92.34	96
L _{Ma}	50.9	-62.79	34.95	71.87	151
C _{Ma}	58.62	-30.35	-45.01	54.3	236
V _{Ma}	25.71	31.11	-44.42	54.24	305
M _{Ma}	48.13	75.27	-8.35	75.73	354
N _{Ma}	18.01	0.0	0.0	0.0	0
W _{Ma}	95.41	0.0	0.0	0.0	0
R _{CIE}	39.92	58.66	26.98	64.56	25
J _{CIE}	81.26	-2.17	67.76	67.79	92
G _{CIE}	52.23	-42.26	11.75	43.87	164
B _{CIE}	30.57	1.15	-46.84	46.87	271

CIELAB-Helligkeit L^*

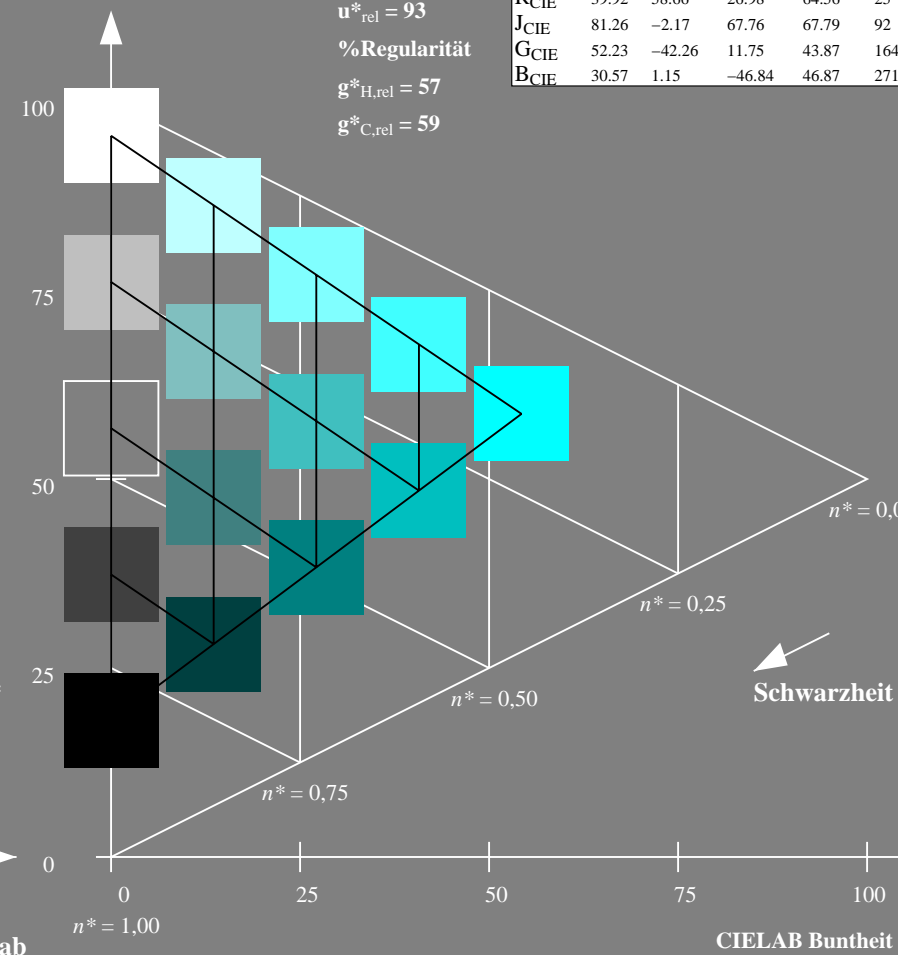
%Umfang

$u^*_{rel} = 93$

%Regularität

$g^*_{H,rel} = 57$

$g^*_{C,rel} = 59$



TG360-7, 5 stufige Reihen für konstanten CIELAB Bunton 217/360 = 0.601 (links)

5 stufige Reihen für konstanten CIELAB Bunton 236/360 = 0.656 (rechts)

BAM-Prüfvorlage TG36; Farbmetrik-Systeme MRS18a & ORS18

D65: Koordinaten-Systeme von 5stufigen Farbreihen für 10 Buntton

Input: olv* setrgbcolor

Output: no change compared to input

Siehe ähnliche Dateien: <http://www.ps.bam.de/TG36/>
 Technische Information: <http://www.ps.bam.de> Version 2.1, io=1,1

BAM-Registrierung: 20060101-TG36/10S/S36G03NP.PS/.PDF BAM-Material: Code=rhatha
 Anwendung für Beurteilung und Messung von Drucker- oder Monitorsystemen
 /TG36 Form: 4/10, Serie: 1/1, Seite: 4
 Scherz hlung 4

Eingabe: Farbmetrisches Reflexions-System MRS18a

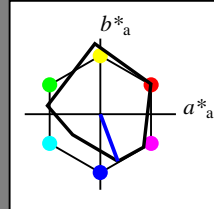
für Buntton $h^* = lab^*h = 290/360 = 0.807$

LAB*LCH, LAB*NCH

D65: Buntton B

LCH*Ma: 37 66 290

olv*Ma: 0.0 0.0 1.0



MRS18a; adaptierte CIELAB-Daten

	$L^*=L^*_a$	a^*_a	b^*_a	$C^*_{ab,a}$	$h^*_{ab,a}$
R _{Ma}	49.63	66.8	40.02	77.87	31
J _{Ma}	90.7	-7.27	93.19	93.48	94
G _{Ma}	52.11	-69.93	11.26	70.85	171
G50B _{Ma}	45.03	-36.65	-27.13	45.61	217
B _{Ma}	36.65	23.26	-62.27	66.49	290
B50R _{Ma}	34.94	57.27	-43.6	71.99	323
N _{Ma}	18.01	0.0	0.0	0.0	0
W _{Ma}	95.41	0.0	0.0	0.0	0
R _{CIE}	39.92	58.67	27.97	64.99	25
J _{CIE}	81.26	-2.91	71.56	71.62	92
G _{CIE}	52.23	-42.47	13.58	44.6	162
B _{CIE}	30.57	1.33	-46.48	46.51	272

CIELAB-Helligkeit L^*

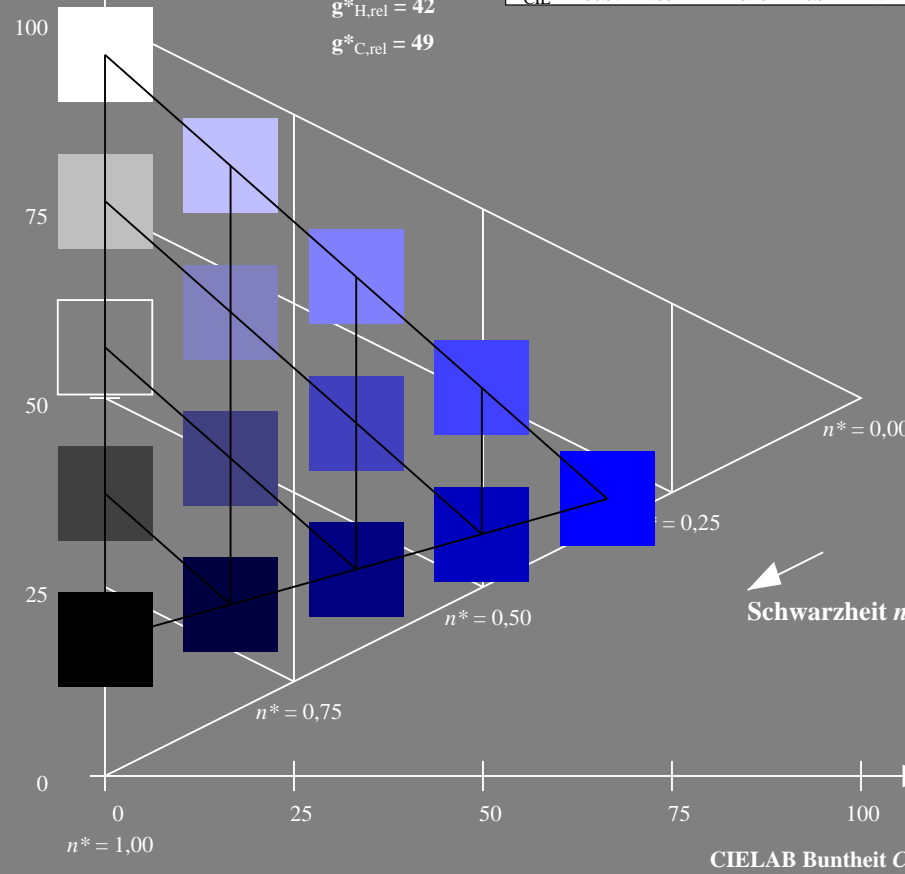
%Umfang

$u^*_{rel} = 92$

%Regularität

$g^*_{H,rel} = 42$

$g^*_{C,rel} = 49$



Ausgabe: Farbmetrisches Reflexions-System ORS18

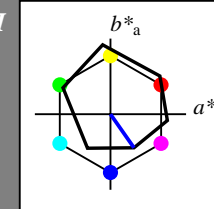
für Buntton $h^* = lab^*h = 305/360 = 0.847$

LAB*LCH, LAB*NCH

D65: Buntton V

LCH*Ma: 26 54 305

olv*Ma: 0.0 0.0 1.0



ORS18; adaptierte CIELAB-Daten

	$L^*=L^*_a$	a^*_a	b^*_a	$C^*_{ab,a}$	$h^*_{ab,a}$
O _{Ma}	47.94	65.37	50.52	82.62	38
Y _{Ma}	90.37	-10.27	91.77	92.34	96
L _{Ma}	50.9	-62.79	34.95	71.87	151
C _{Ma}	58.62	-30.35	-45.01	54.3	236
V _{Ma}	25.71	31.11	-44.42	54.24	305
M _{Ma}	48.13	75.27	-8.35	75.73	354
N _{Ma}	18.01	0.0	0.0	0.0	0
W _{Ma}	95.41	0.0	0.0	0.0	0
R _{CIE}	39.92	58.66	26.98	64.56	25
J _{CIE}	81.26	-2.17	67.76	67.79	92
G _{CIE}	52.23	-42.26	11.75	43.87	164
B _{CIE}	30.57	1.15	-46.84	46.87	271

CIELAB-Helligkeit L^*

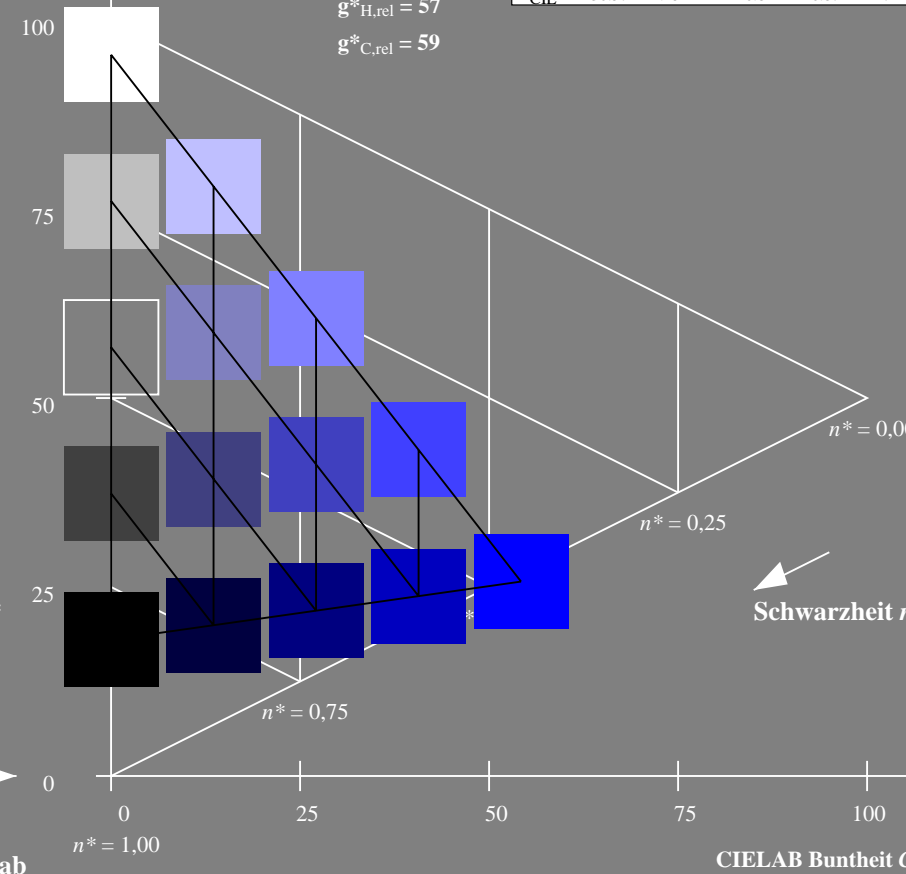
%Umfang

$u^*_{rel} = 93$

%Regularität

$g^*_{H,rel} = 57$

$g^*_{C,rel} = 59$



TG360-7, 5 stufige Reihen für konstanten CIELAB Buntton 290/360 = 0.807 (links)

5 stufige Reihen für konstanten CIELAB Buntton 305/360 = 0.847 (rechts)

BAM-Prüfvorlage TG36; Farbmetrik-Systeme MRS18a & ORS18

D65: Koordinaten-Systeme von 5stufigen Farbreihen für 10 Buntton
 Input: olv* setrgbcolor
 Output: no change compared to input

Eingabe: Farbmetrisches Reflexions-System MRS18a

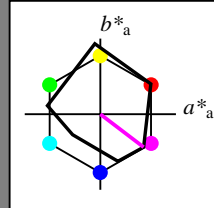
für Buntton $h^* = lab^*h = 323/360 = 0.896$

LAB*LCH, LAB*NCH

D65: Buntton B50R

LCH*Ma: 35 72 323

olv*Ma: 1.0 0.0 1.0



MRS18a; adaptierte CIELAB-Daten

	$L^*=L^*_a$	a^*_a	b^*_a	$C^*_{ab,a}$	$h^*_{ab,a}$
R _{Ma}	49.63	66.8	40.02	77.87	31
J _{Ma}	90.7	-7.27	93.19	93.48	94
G _{Ma}	52.11	-69.93	11.26	70.85	171
G50B _{Ma}	45.03	-36.65	-27.13	45.61	217
B _{Ma}	36.65	23.26	-62.27	66.49	290
B50R _{Ma}	34.94	57.27	-43.6	71.99	323
N _{Ma}	18.01	0.0	0.0	0.0	0
W _{Ma}	95.41	0.0	0.0	0.0	0
R _{CIE}	39.92	58.67	27.97	64.99	25
J _{CIE}	81.26	-2.91	71.56	71.62	92
G _{CIE}	52.23	-42.47	13.58	44.6	162
B _{CIE}	30.57	1.33	-46.48	46.51	272

CIELAB-Helligkeit L^*

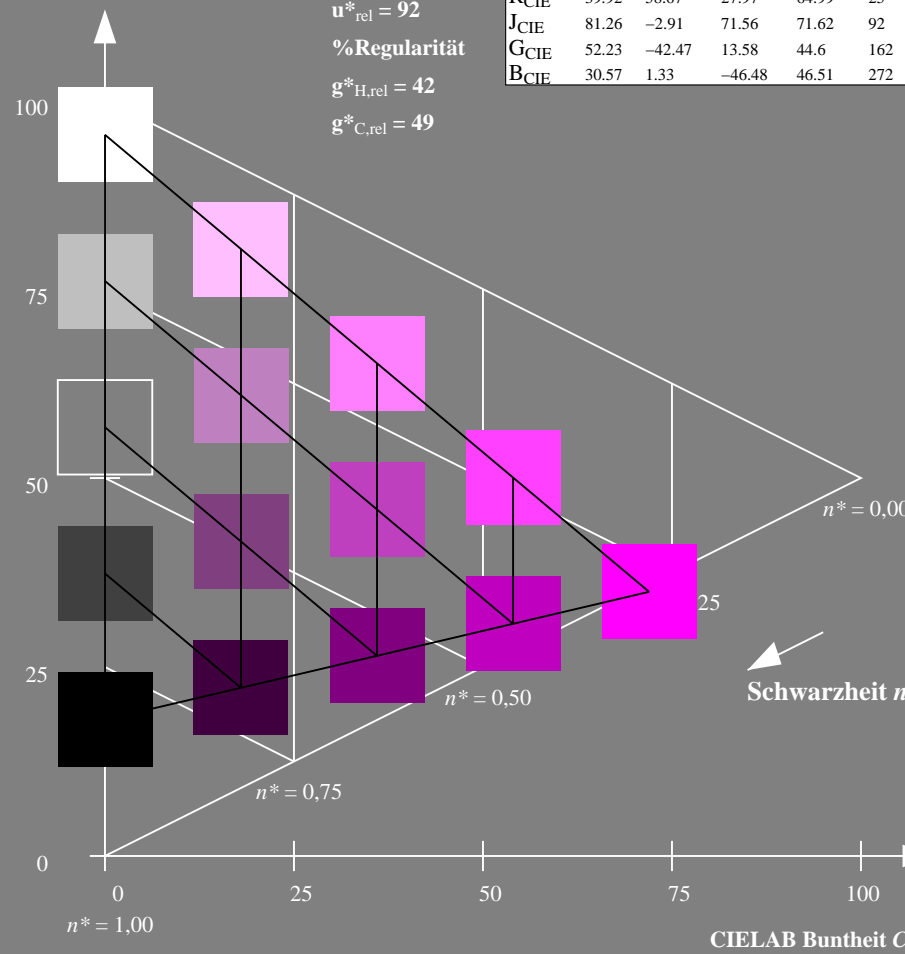
%Umfang

$u^*_{rel} = 92$

%Regularität

$g^*_{H,rel} = 42$

$g^*_{C,rel} = 49$



Ausgabe: Farbmetrisches Reflexions-System ORS18

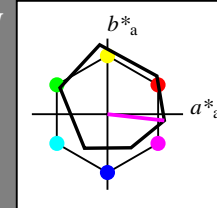
für Buntton $h^* = lab^*h = 354/360 = 0.982$

LAB*LCH, LAB*NCH

D65: Buntton M

LCH*Ma: 48 76 354

olv*Ma: 1.0 0.0 1.0



ORS18; adaptierte CIELAB-Daten

	$L^*=L^*_a$	a^*_a	b^*_a	$C^*_{ab,a}$	$h^*_{ab,a}$
O _{Ma}	47.94	65.37	50.52	82.62	38
Y _{Ma}	90.37	-10.27	91.77	92.34	96
L _{Ma}	50.9	-62.79	34.95	71.87	151
C _{Ma}	58.62	-30.35	-45.01	54.3	236
V _{Ma}	25.71	31.11	-44.42	54.24	305
M _{Ma}	48.13	75.27	-8.35	75.73	354
N _{Ma}	18.01	0.0	0.0	0.0	0
W _{Ma}	95.41	0.0	0.0	0.0	0
R _{CIE}	39.92	58.66	26.98	64.56	25
J _{CIE}	81.26	-2.17	67.76	67.79	92
G _{CIE}	52.23	-42.26	11.75	43.87	164
B _{CIE}	30.57	1.15	-46.84	46.87	271

CIELAB-Helligkeit L^*

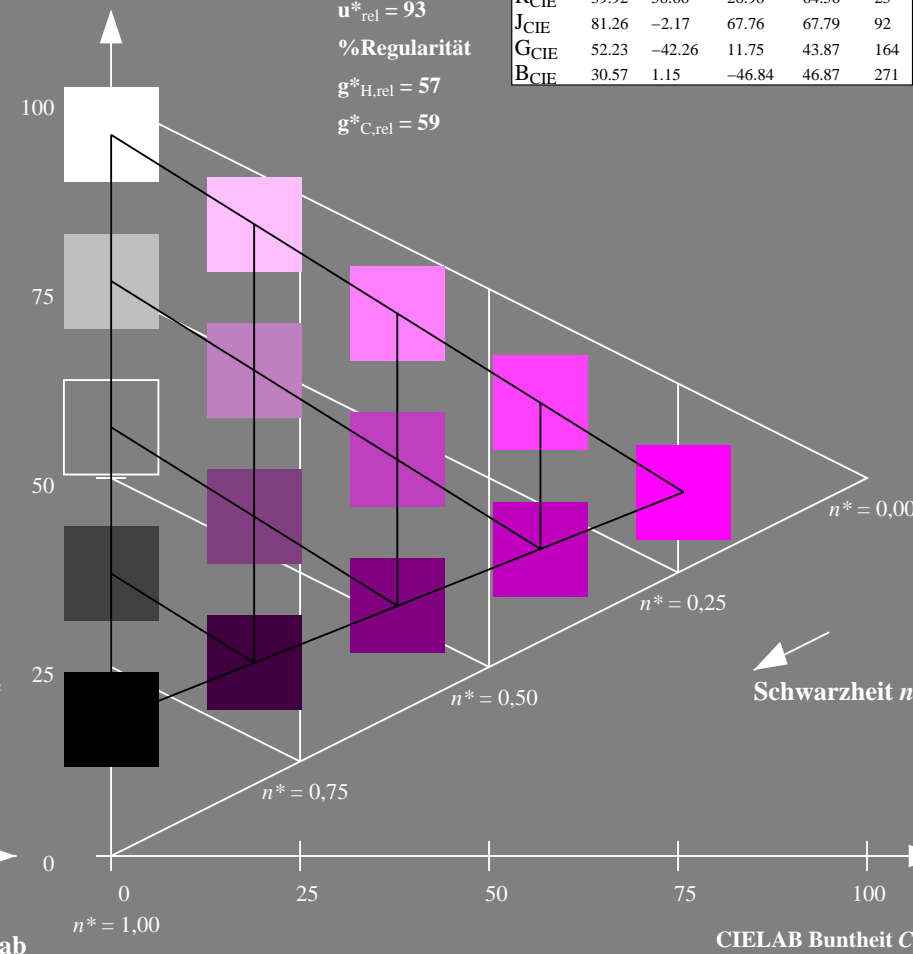
%Umfang

$u^*_{rel} = 93$

%Regularität

$g^*_{H,rel} = 57$

$g^*_{C,rel} = 59$



TG360-7, 5 stufige Reihen für konstanten CIELAB Buntton 323/360 = 0.896 (links)

5 stufige Reihen für konstanten CIELAB Buntton 354/360 = 0.982 (rechts)

BAM-Prüfvorlage TG36; Farbmetrik-Systeme MRS18a & ORS18

D65: Koordinaten-Systeme von 5stufigen Farbreihen für 10 Buntton
 Input: olv* setrgbcolor
 Output: no change compared to input

BAM-Registrierung: 20060101-TG36/10S/S36G05NP.PS/.PDF BAM-Material: Code=rhata
 Anwendung für Beurteilung und Messung von Drucker- oder Monitorssystemen
 /TG36 Form: 6/10, Serie: 1/1, Seite: 6
 Scherzhang 6

Eingabe: Farbmetrisches Reflexions-System MRS18a

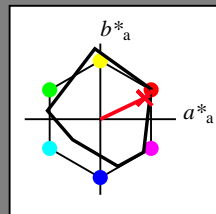
für Buntton $h^* = lab^*h = 25/360 = 0.071$

LAB*LCH, LAB*NCH

D65: Buntton R

LCH*Ma: 48 73 25

olv*Ma: 1.0 0.0 0.1



MRS18a; adaptierte CIELAB-Daten

	$L^*=L^*_a$	a^*_a	b^*_a	$C^*_{ab,a}$	$h^*_{ab,a}$
R _{Ma}	49.63	66.8	40.02	77.87	31
J _{Ma}	90.7	-7.27	93.19	93.48	94
G _{Ma}	52.11	-69.93	11.26	70.85	171
G50B _{Ma}	45.03	-36.65	-27.13	45.61	217
B _{Ma}	36.65	23.26	-62.27	66.49	290
B50R _{Ma}	34.94	57.27	-43.6	71.99	323
N _{Ma}	18.01	0.0	0.0	0.0	0
W _{Ma}	95.41	0.0	0.0	0.0	0
R _{CIE}	39.92	58.67	27.97	64.99	25
J _{CIE}	81.26	-2.91	71.56	71.62	92
G _{CIE}	52.23	-42.47	13.58	44.6	162
B _{CIE}	30.57	1.33	-46.48	46.51	272

CIELAB-Helligkeit L^*

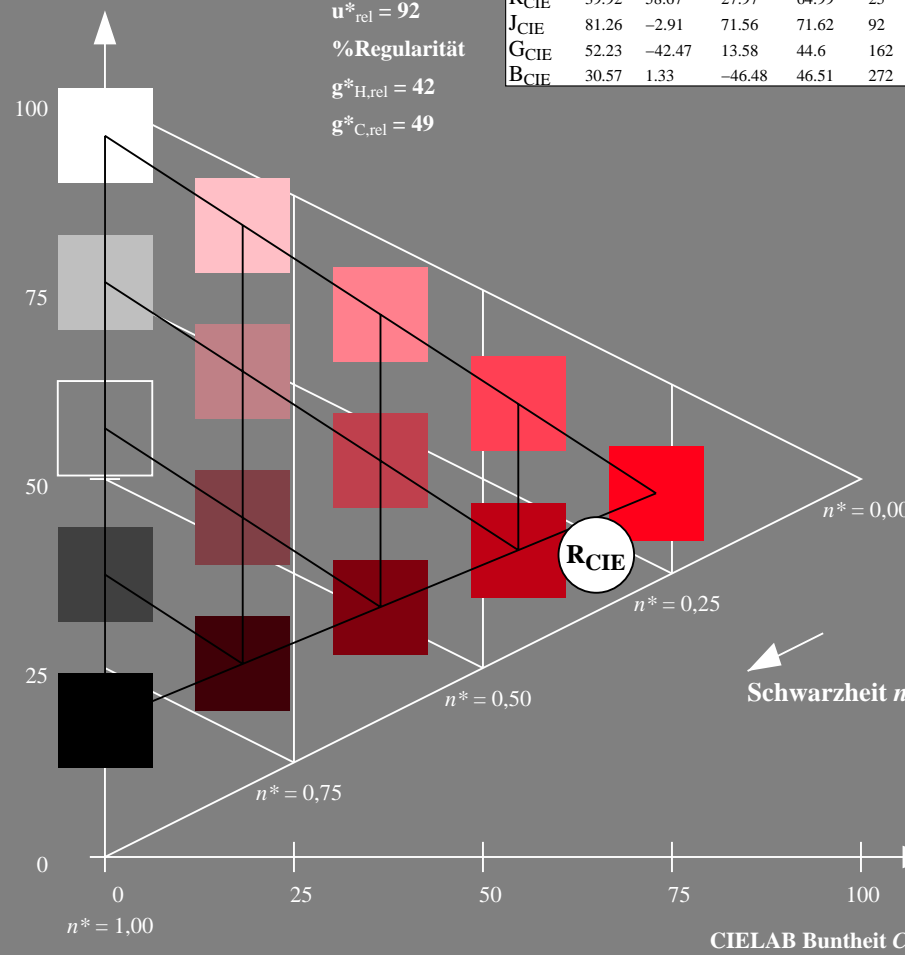
%Umfang

$u^*_{rel} = 92$

%Regularität

$g^*_{H,rel} = 42$

$g^*_{C,rel} = 49$



TG360-7, 5 stufige Reihen für konstanten CIELAB Buntton 25/360 = 0.071 (links)

Ausgabe: Farbmetrisches Reflexions-System ORS18

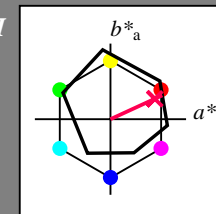
für Buntton $h^* = lab^*h = 25/360 = 0.069$

LAB*LCH, LAB*NCH

D65: Buntton R

LCH*Ma: 48 75 25

olv*Ma: 1.0 0.0 0.32



ORS18; adaptierte CIELAB-Daten

	$L^*=L^*_a$	a^*_a	b^*_a	$C^*_{ab,a}$	$h^*_{ab,a}$
O _{Ma}	47.94	65.37	50.52	82.62	38
Y _{Ma}	90.37	-10.27	91.77	92.34	96
L _{Ma}	50.9	-62.79	34.95	71.87	151
C _{Ma}	58.62	-30.35	-45.01	54.3	236
V _{Ma}	25.71	31.11	-44.42	54.24	305
M _{Ma}	48.13	75.27	-8.35	75.73	354
N _{Ma}	18.01	0.0	0.0	0.0	0
W _{Ma}	95.41	0.0	0.0	0.0	0
R _{CIE}	39.92	58.66	26.98	64.56	25
J _{CIE}	81.26	-2.17	67.76	67.79	92
G _{CIE}	52.23	-42.26	11.75	43.87	164
B _{CIE}	30.57	1.15	-46.84	46.87	271

CIELAB-Helligkeit L^*

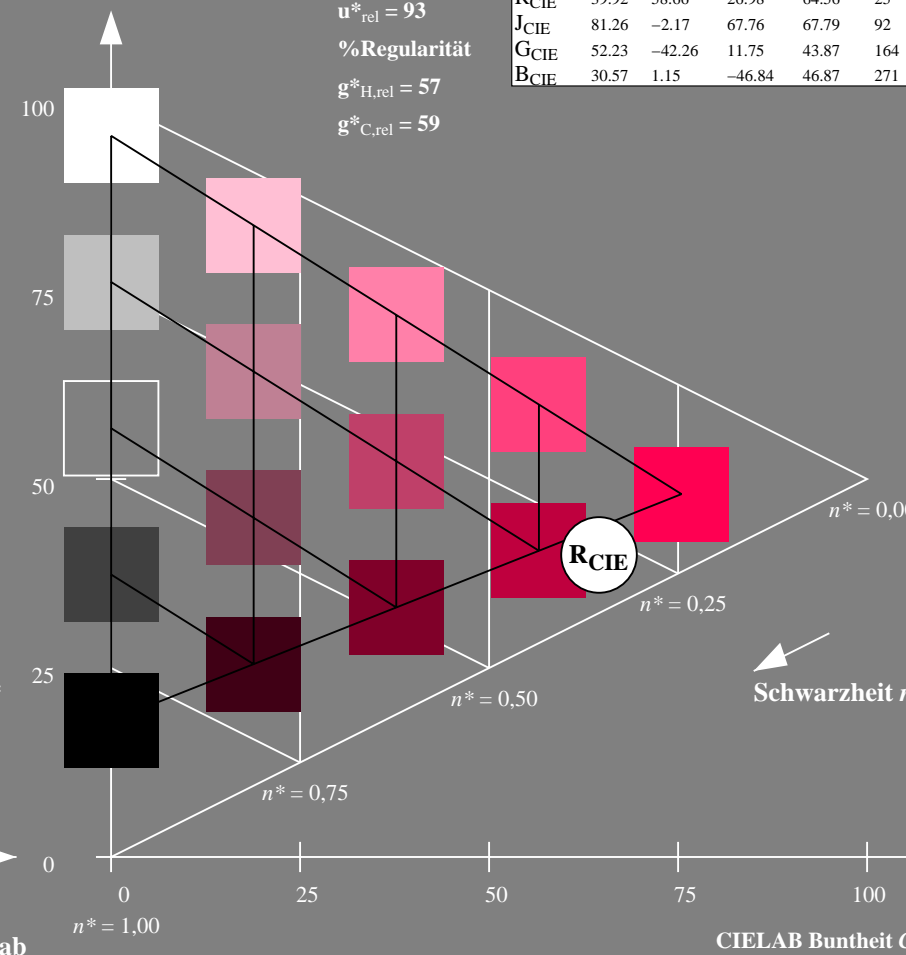
%Umfang

$u^*_{rel} = 93$

%Regularität

$g^*_{H,rel} = 57$

$g^*_{C,rel} = 59$



5 stufige Reihen für konstanten CIELAB Buntton 25/360 = 0.069 (rechts)

Eingabe: Farbmetrisches Reflexions-System MRS18a

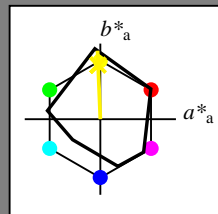
für Buntton $h^* = lab^*h = 92/360 = 0.256$

LAB*LCH, LAB*NCH

D65: Buntton J

LCH*Ma: 89 91 92

olv*Ma: 1.0 0.95 0.0



MRS18a; adaptierte CIELAB-Daten

	$L^*=L^*_a$	a^*_a	b^*_a	$C^*_{ab,a}$	$h^*_{ab,a}$
R _{Ma}	49.63	66.8	40.02	77.87	31
J _{Ma}	90.7	-7.27	93.19	93.48	94
G _{Ma}	52.11	-69.93	11.26	70.85	171
G50B _{Ma}	45.03	-36.65	-27.13	45.61	217
B _{Ma}	36.65	23.26	-62.27	66.49	290
B50R _{Ma}	34.94	57.27	-43.6	71.99	323
N _{Ma}	18.01	0.0	0.0	0.0	0
W _{Ma}	95.41	0.0	0.0	0.0	0
R _{CIE}	39.92	58.67	27.97	64.99	25
J _{CIE}	81.26	-2.91	71.56	71.62	92
G _{CIE}	52.23	-42.47	13.58	44.6	162
B _{CIE}	30.57	1.33	-46.48	46.51	272

CIELAB-Helligkeit L^*

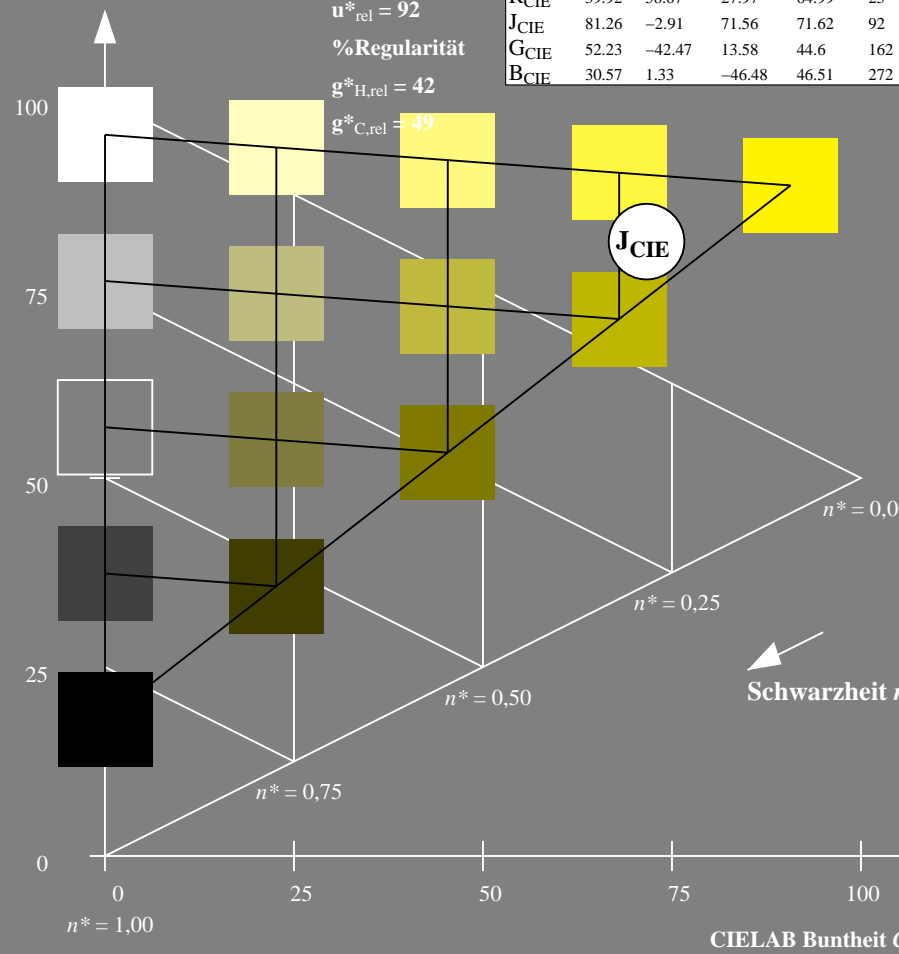
%Umfang

$u^*_{rel} = 92$

%Regularität

$g^*_{H,rel} = 42$

$g^*_{C,rel} = 49$



Ausgabe: Farbmetrisches Reflexions-System ORS18

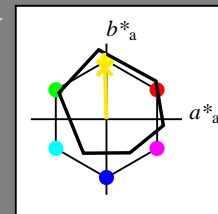
für Buntton $h^* = lab^*h = 92/360 = 0.255$

LAB*LCH, LAB*NCH

D65: Buntton J

LCH*Ma: 86 88 92

olv*Ma: 1.0 0.9 0.0



ORS18; adaptierte CIELAB-Daten

	$L^*=L^*_a$	a^*_a	b^*_a	$C^*_{ab,a}$	$h^*_{ab,a}$
O _{Ma}	47.94	65.37	50.52	82.62	38
Y _{Ma}	90.37	-10.27	91.77	92.34	96
L _{Ma}	50.9	-62.79	34.95	71.87	151
C _{Ma}	58.62	-30.35	-45.01	54.3	236
V _{Ma}	25.71	31.11	-44.42	54.24	305
M _{Ma}	48.13	75.27	-8.35	75.73	354
N _{Ma}	18.01	0.0	0.0	0.0	0
W _{Ma}	95.41	0.0	0.0	0.0	0
R _{CIE}	39.92	58.66	26.98	64.56	25
J _{CIE}	81.26	-2.17	67.76	67.79	92
G _{CIE}	52.23	-42.26	11.75	43.87	164
B _{CIE}	30.57	1.15	-46.84	46.87	271

CIELAB-Helligkeit L^*

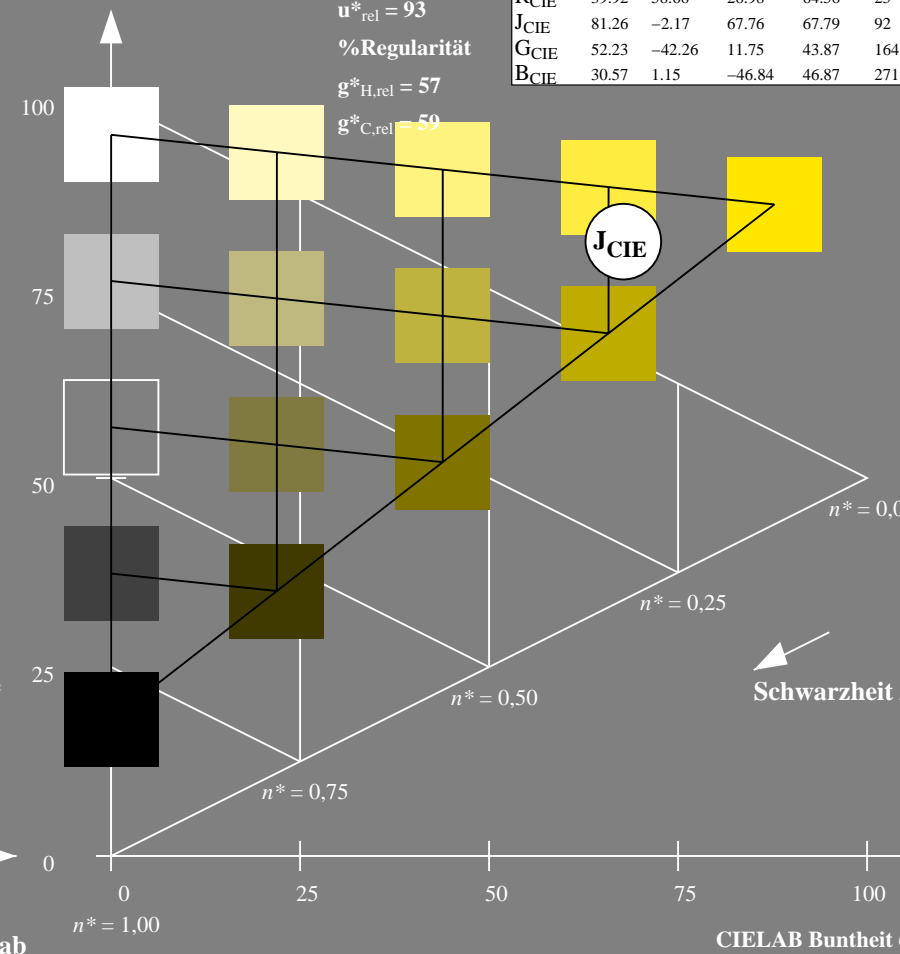
%Umfang

$u^*_{rel} = 93$

%Regularität

$g^*_{H,rel} = 57$

$g^*_{C,rel} = 59$



TG360-7, 5 stufige Reihen für konstanten CIELAB Buntton $92/360 = 0.256$ (links)

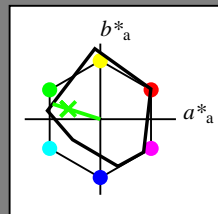
5 stufige Reihen für konstanten CIELAB Buntton $92/360 = 0.255$ (rechts)

Eingabe: Farbmetrisches Reflexions-System MRS18a

für Buntton $h^* = lab^*h = 162/360 = 0.451$

LAB*LCH, LAB*NCH

D65: Buntton G
 LCH*Ma: 56 66 162
 olv*Ma: 0.11 1.0 0.0



MRS18a; adaptierte CIELAB-Daten

	$L^*=L^*_a$	a^*_a	b^*_a	$C^*_{ab,a}$	$h^*_{ab,a}$
R _{Ma}	49.63	66.8	40.02	77.87	31
J _{Ma}	90.7	-7.27	93.19	93.48	94
G _{Ma}	52.11	-69.93	11.26	70.85	171
G50B _{Ma}	45.03	-36.65	-27.13	45.61	217
B _{Ma}	36.65	23.26	-62.27	66.49	290
B50R _{Ma}	34.94	57.27	-43.6	71.99	323
N _{Ma}	18.01	0.0	0.0	0.0	0
W _{Ma}	95.41	0.0	0.0	0.0	0
R _{CIE}	39.92	58.67	27.97	64.99	25
J _{CIE}	81.26	-2.91	71.56	71.62	92
G _{CIE}	52.23	-42.47	13.58	44.6	162
B _{CIE}	30.57	1.33	-46.48	46.51	272

CIELAB-Helligkeit L^*

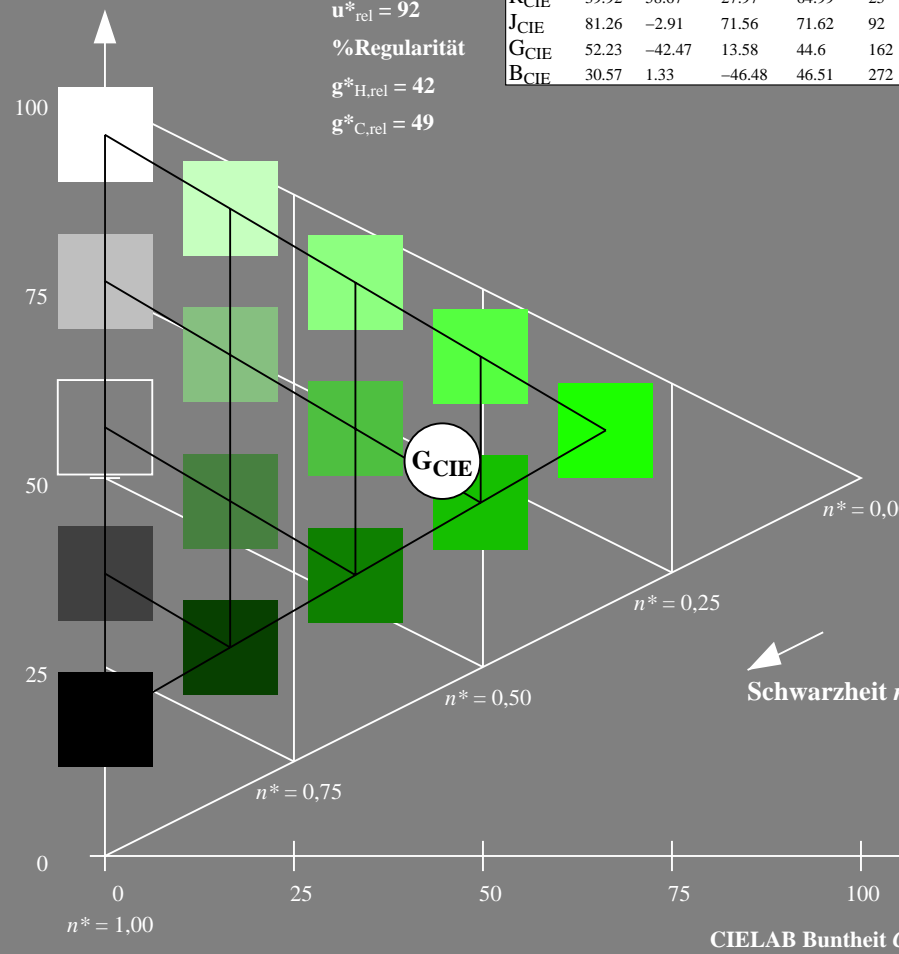
%Umfang

$u^*_{rel} = 92$

%Regularität

$g^*_{H,rel} = 42$

$g^*_{C,rel} = 49$

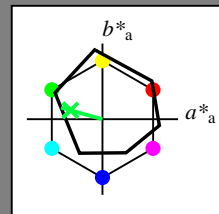


Ausgabe: Farbmetrisches Reflexions-System ORS18

für Buntton $h^* = lab^*h = 164/360 = 0.457$

LAB*LCH, LAB*NCH

D65: Buntton G
 LCH*Ma: 53 57 164
 olv*Ma: 0.0 1.0 0.25



ORS18; adaptierte CIELAB-Daten

	$L^*=L^*_a$	a^*_a	b^*_a	$C^*_{ab,a}$	$h^*_{ab,a}$
O _{Ma}	47.94	65.37	50.52	82.62	38
Y _{Ma}	90.37	-10.27	91.77	92.34	96
L _{Ma}	50.9	-62.79	34.95	71.87	151
C _{Ma}	58.62	-30.35	-45.01	54.3	236
V _{Ma}	25.71	31.11	-44.42	54.24	305
M _{Ma}	48.13	75.27	-8.35	75.73	354
N _{Ma}	18.01	0.0	0.0	0.0	0
W _{Ma}	95.41	0.0	0.0	0.0	0
R _{CIE}	39.92	58.66	26.98	64.56	25
J _{CIE}	81.26	-2.17	67.76	67.79	92
G _{CIE}	52.23	-42.26	11.75	43.87	164
B _{CIE}	30.57	1.15	-46.84	46.87	271

CIELAB-Helligkeit L^*

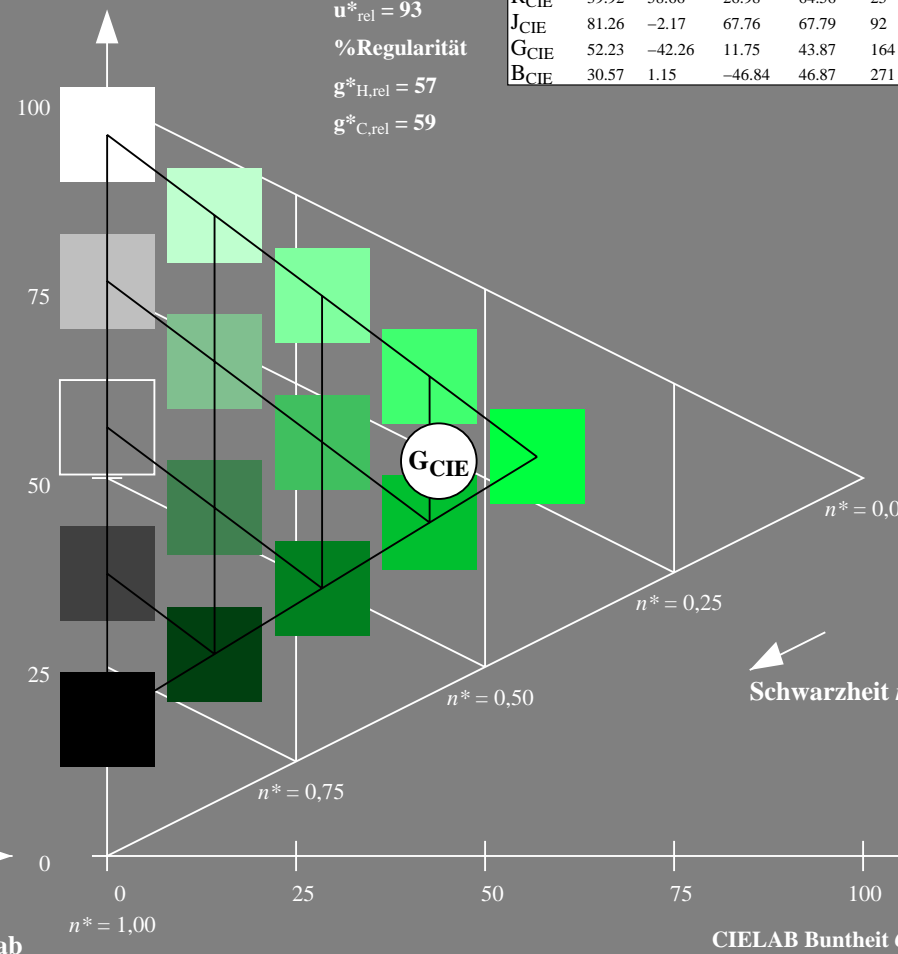
%Umfang

$u^*_{rel} = 93$

%Regularität

$g^*_{H,rel} = 57$

$g^*_{C,rel} = 59$



TG360-7, 5 stufige Reihen für konstanten CIELAB Buntton 162/360 = 0.451 (links)

5 stufige Reihen für konstanten CIELAB Buntton 164/360 = 0.457 (rechts)

Eingabe: Farbmetrisches Reflexions-System MRS18a

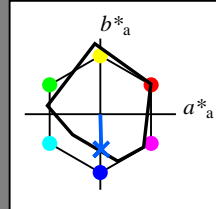
für Buntton $h^* = lab^*h = 272/360 = 0.755$

LAB*LCH, LAB*NCH

D65: Buntton B

LCH*Ma: 40 49 272

olv*Ma: 0.0 0.36 1.0



MRS18a; adaptierte CIELAB-Daten

	$L^*=L^*_a$	a^*_a	b^*_a	$C^*_{ab,a}$	$h^*_{ab,a}$
R _{Ma}	49.63	66.8	40.02	77.87	31
J _{Ma}	90.7	-7.27	93.19	93.48	94
G _{Ma}	52.11	-69.93	11.26	70.85	171
G50B _{Ma}	45.03	-36.65	-27.13	45.61	217
B _{Ma}	36.65	23.26	-62.27	66.49	290
B50R _{Ma}	34.94	57.27	-43.6	71.99	323
N _{Ma}	18.01	0.0	0.0	0.0	0
W _{Ma}	95.41	0.0	0.0	0.0	0
R _{CIE}	39.92	58.67	27.97	64.99	25
J _{CIE}	81.26	-2.91	71.56	71.62	92
G _{CIE}	52.23	-42.47	13.58	44.6	162
B _{CIE}	30.57	1.33	-46.48	46.51	272

CIELAB-Helligkeit L^*

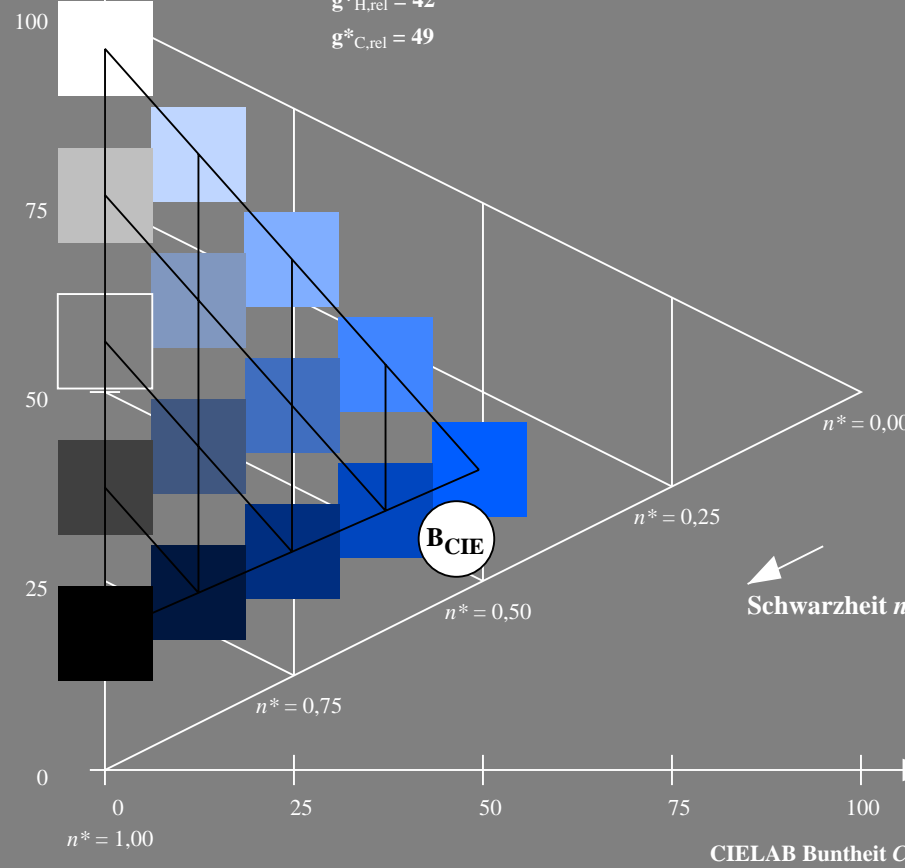
%Umfang

$u^*_{rel} = 92$

%Regularität

$g^*_{H,rel} = 42$

$g^*_{C,rel} = 49$



Ausgabe: Farbmetrisches Reflexions-System ORS18

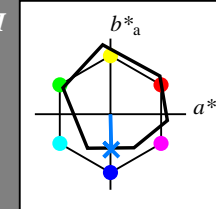
für Buntton $h^* = lab^*h = 271/360 = 0.754$

LAB*LCH, LAB*NCH

D65: Buntton B

LCH*Ma: 42 45 271

olv*Ma: 0.0 0.49 1.0



ORS18; adaptierte CIELAB-Daten

	$L^*=L^*_a$	a^*_a	b^*_a	$C^*_{ab,a}$	$h^*_{ab,a}$
O _{Ma}	47.94	65.37	50.52	82.62	38
Y _{Ma}	90.37	-10.27	91.77	92.34	96
L _{Ma}	50.9	-62.79	34.95	71.87	151
C _{Ma}	58.62	-30.35	-45.01	54.3	236
V _{Ma}	25.71	31.11	-44.42	54.24	305
M _{Ma}	48.13	75.27	-8.35	75.73	354
N _{Ma}	18.01	0.0	0.0	0.0	0
W _{Ma}	95.41	0.0	0.0	0.0	0
R _{CIE}	39.92	58.66	26.98	64.56	25
J _{CIE}	81.26	-2.17	67.76	67.79	92
G _{CIE}	52.23	-42.26	11.75	43.87	164
B _{CIE}	30.57	1.15	-46.84	46.87	271

CIELAB-Helligkeit L^*

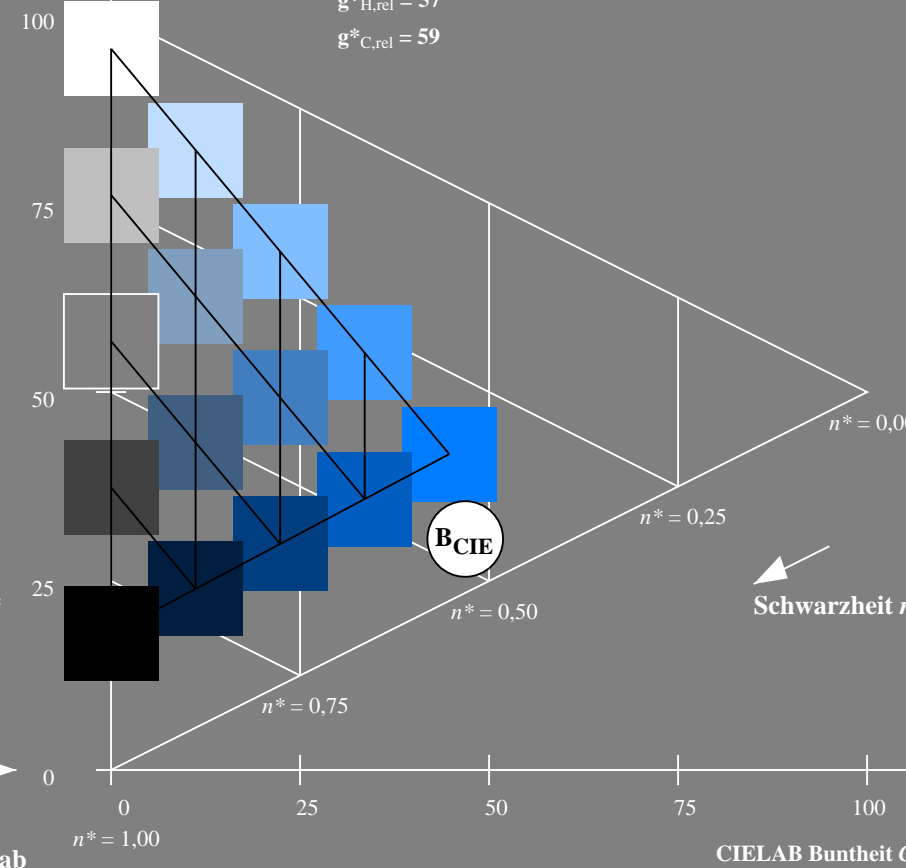
%Umfang

$u^*_{rel} = 93$

%Regularität

$g^*_{H,rel} = 57$

$g^*_{C,rel} = 59$



TG360-7, 5-stufige Reihen für konstanten CIELAB Buntton 272/360 = 0.755 (links)

5-stufige Reihen für konstanten CIELAB Buntton 271/360 = 0.754 (rechts)

BAM-Prüfvorlage TG36; Farbmetrik-Systeme MRS18a & ORS18

D65: Koordinaten-Systeme von 5-stufigen Farbreihen für 10 Buntton
 Input: olv* setrgbcolor
 Output: no change compared to input

Siehe ähnliche Dateien: <http://www.ps.bam.de/TG36/>
 Technische Information: <http://www.ps.bam.de> Version 2.1, io=1,1

BAM-Registrierung: 20060101-TG36/10S/S36G09NP.PS/.PDF BAM-Material: Code=rh4ta
 Anwendung für Beurteilung und Messung von Drucker- oder Monitorssystemen
 /TG36 Form: 10/10Serie: 1/1, Seite: 10
 Scherzhang 10